

Вынужденное и параметрическое возбуждение спиновых волн световым полем с дискретным спектром и светоиндуцированное спиновое эхо

© А.Ф. Кабыченков

Институт радиотехники и электроники Российской академии наук,
141190 Фрязино, Московская обл., Россия

E-mail: akab@mail.cplire.ru

(Поступила в Редакцию в окончательном виде 26 мая 2005 г.)

Рассматриваются светоиндуцированные вынужденное и параметрическое возбуждение спиновых волн и спиновое эхо. Определены статические и установившиеся динамические состояния намагниченности в световом поле. Построены фазовые диаграммы в магнитном и световом полях. Рассчитаны порог параметрического возбуждения, амплитуда стационарных колебаний и описываемые вектором магнитного момента траектории при светоиндуцированном нелинейном ферромагнитном резонансе. Траектории могут быть топологически различными. Переход между этими траекториями происходит подобно фазовому переходу. Определены параметры светоиндуцированного спинового эха.

PACS: 75.30.Ds, 76.50.+g, 76.60.Lz

В рамках классической электродинамики световая волна взаимодействует с магнитной подсистемой кристалла через магнитную компоненту светового поля вследствие магнитодипольного взаимодействия и через электрическую компоненту вследствие магнитоэлектрического взаимодействия [1–4]. На оптических частотах указанные взаимодействия будут очень слабыми. Это обусловлено тем, что частота света на несколько порядков выше частоты прецессии вектора магнитного момента \mathbf{M} и, следовательно, магнитная и магнитоэлектрическая восприимчивости будут очень малыми [1]. Кроме того, линейное магнитоэлектрическое взаимодействие имеет место только в кристаллах без центра симметрии. Поэтому оптические и магнитные свойства вещества связаны главным образом через нелинейное магнитоэлектрическое взаимодействие. Благодаря этому взаимодействию световое поле создает в магнетиках эффективные магнитные поля \mathbf{H}^L и намагниченность [5,6].

В световом поле с дискретным спектром составляющие \mathbf{H}^L , а именно: поля однородного и неоднородного обмена, поле анизотропии и магнитное поле, содержат наряду с постоянными компонентами переменные компоненты комбинационных частот [6,7]. Последние могут располагаться в области частот ферромагнитного или антиферромагнитного резонансов. Ввиду малости магнитооптических констант и квадратичной зависимости нелинейного магнитоэлектрического эффекта от электрического поля световой волны светоиндуцированные (СИ) эффективные магнитные поля будут невелики. Следовательно, воздействие света на магнетик будет наиболее заметным в области статической и динамической неустойчивости намагниченности \mathbf{M} , где магнитные восприимчивости (статическая и динамическая) будут аномально велики.

СИ магнитные поля имеют ряд особенностей. Они локализованы в пределах светового луча, не про-

изводят помех, могут иметь очень малую длительность. В области гистерезиса вызванные светом изменения могут сохраняться. Оценки СИ-полей дают для висмутсодержащих ферритов-гранатов (например, типа $(\text{CdBi})_3(\text{FeAlGa})_5\text{O}_{12}$ [8–10]) при интенсивности света $I \sim 1 \text{ MW/cm}^2$ величину $H^L \sim 1 \text{ Oe}$. Эта величина превосходит обычно используемые для возбуждения спиновых волн переменные магнитные поля [11]. В халькогенидах европия (EuO , EuSe , EuS) магнитооптические константы на порядок больше, чем в ферритах-гранатах, однако они имеют низкую точку Кюри [2,3,10].

В общем случае эффективные СИ магнитные поля изменяют свойства магнитной подсистемы (восприимчивость, спектр спиновых волн) и могут приводить к изменению ее состояния, причем новое состояние может быть не только статическим (однородным или неоднородным), но и динамическим. Переход между состояниями с различной симметрией можно рассматривать как СИ фазовый переход (ФП).

ФП в волновых полях достаточно широко распространены. Изменение состояния под влиянием температуры можно рассматривать как ФП в акустическом поле с тепловым спектром. Магнитные ФП происходят и в поле монохроматической упругой волны. Спонтанные и спин-переориентационные ФП в поле квазимонохроматической световой волны рассматривались в [5]. Волновое поле может иметь спектр шума. Световое поле с относительно узким квазишумовым спектром в оптическом диапазоне дает эффективные поля с широким квазишумовым спектром в сверхвысокочастотном диапазоне.

В настоящей работе рассматривается движение \mathbf{M} под действием светового поля в дискретном спектром относительно основного состояния магнетика, измененного тем же световым полем.

1. Общие уравнения

Динамика намагниченности в световом поле описывается уравнениями

$$\dot{M}_i = g e_{ijk} M_j \tilde{H}_k + \tau_2^{-1} \tilde{H}_i - \tau_1^{-1} \delta_{ik}^{\text{ln}} m_l m_k \tilde{H}_n, \quad (1)$$

$$(H_i + 4\pi M_i)_{,x_i} = 0,$$

$$e_{0i,x_k x_k}^{\mu} - e_{0k,x_i x_k}^{\mu} + c^{-2} (v_{\eta}^2 \varepsilon_{ik}^{\mu\eta} e_{0k}^{\eta} - i \varepsilon_{ik}^{\mu\eta} \dot{e}_{0k}^{\eta}) = 0, \quad (2)$$

$$(\varepsilon_{ik}^{\mu\eta} e_{0k}^{\eta})_{,x_i} = 0,$$

где g — гиромангнитное отношение, e_{ijk} — единичный антисимметричный тензор, τ_2, τ_1 — времена релаксации, $\delta_{ik}^{\text{ln}} = e_{ijk} e_{jln} = \delta_{in} \delta_{kl} - \delta_{il} \delta_{kn}$, δ_{ik} — тензор Кронекера, $\mathbf{m} = \mathbf{M}/|\mathbf{M}|$ — единичный вектор в направлении \mathbf{M} , $\mathbf{H} = \mathbf{H}_0 + \mathbf{H}_d$, \mathbf{H}_0 и \mathbf{H}_d — внешнее поле и поле размагничивания, ν_{μ} и e_{0i}^{μ} — частота и комплексная амплитуда спектральной компоненты светового поля $e_k^{\mu} = \text{Re } e_{0k}^{\mu} \exp(i\nu_{\mu} t)$, $\varepsilon_{ij}^{\mu\eta}(\nu_{\mu}, \nu_{\eta}, M_i, M_{i,x_k}, H_k)$ — тензор диэлектрической проницаемости $\varepsilon_{ij}^{\mu\nu} = \partial \nu_{\nu}^2 \varepsilon_{ij}(\nu_{\mu}, \nu_{\eta}) / \partial \nu_{\eta}$, c — скорость света. Уравнение (1) описывает прецессию \mathbf{M} [4]. Релаксационные члены с τ_2 и τ_1 определяют изменение величины \mathbf{M} и отклонение \mathbf{M} от \mathbf{H} [4]. Уравнение (2) — волновое уравнение с учетом формы временной производной от квазимонохроматической световой волны [1].

Эффективное магнитное поле состоит из внутреннего магнитного поля \mathbf{H} , собственного эффективного магнитного поля, вызванного \mathbf{M} , и СИ магнитного поля

$$\tilde{\mathbf{H}} = \mathbf{H} + \tilde{\mathbf{H}}^M + \tilde{\mathbf{H}}^L, \quad \tilde{\mathbf{H}}^M = -\delta W^M / \delta \mathbf{M} = \mathbf{H}^{\text{Me}} + \mathbf{H}^{\text{Ma}},$$

$$\tilde{\mathbf{H}}^L = -e_{ij}^{\mu\eta} \delta \varepsilon_{ij}^{\mu\eta} / \delta \mathbf{M} = \mathbf{H}^L + \mathbf{H}^{\text{Le}} + \mathbf{H}^{\text{La}},$$

где $\mathbf{H}^{\text{Me}} = \mathbf{H}^{\text{Mhe}} + \mathbf{H}^{\text{Mie}}$, $\mathbf{H}^{\text{Mhe}} = (A^M + B^M \mathbf{M}^2) \mathbf{M}$ и $\mathbf{H}^{\text{Mie}} = a_{ij}^M \partial \mathbf{M} / \partial x_i \partial x_j$ — поля однородного и неоднородного обмена, $H_i^{\text{Ma}} = K_{ij}^M M_j$ — поле магнитной кристаллографической анизотропии, $K_{ij}^M = K_{ij}^{M1} + K_{ijmn}^{M2} M_m M_n$, K_{ij}^{M1} и K_{ijmn}^{M2} — константы анизотропии.

Если ограничиться разложением

$$\varepsilon_{ij}^{\mu\eta} = \tilde{\varepsilon}_{ij}^{\mu\eta} + i e_{ijk} \alpha_{kn}^{\mu\eta} M_n + \beta_{ijkn}^{\mu\eta} M_k M_n + \gamma_{ijklmn}^{\mu\eta} M_{k,x_i} M_{m,x_n},$$

где $\tilde{\alpha}^{\mu\eta}$, $\tilde{\beta}^{\mu\eta}$ и $\tilde{\gamma}^{\mu\eta}$ — магнитооптические константы, то $\mathbf{H}^{\text{Le}} = \mathbf{H}^{\text{Lhe}} + \mathbf{H}^{\text{Lie}}$, $\mathbf{H}^{\text{Lhe}} = A^L \mathbf{M}$ и $H_m^{\text{Lie}} = a_{klmn}^L \partial^2 M_k / \partial x_l \partial x_n$ — СИ-поля однородного и неоднородного обмена, $A^L = \frac{2}{3} \beta_{ijmn}^{\mu\eta} e_{ij}^{\mu\eta}$ и $a_{klmn}^L = 2 \gamma_{ijklmn}^{\mu\eta} e_{ij}^{\mu\eta}$ — СИ обменные константы, $H_i^{\text{La}} = K_{ij}^L M_j$ — поле СИ магнитной анизотропии, $K_{kn}^L = 2 e_{ij}^{\mu\eta} (\beta_{ijkn}^{\mu\eta} - \frac{1}{3} \beta_{ijll}^{\mu\eta} \delta_{kn})$ — константа СИ-анизотропии, $H_i^L = g_k^{\mu\eta} \alpha_{ki}^{\mu\eta}$ — СИ магнитное поле, $g_k^{\mu\eta} = i e_{ijk} e_{ij}^{\mu\eta}$ — аксиальный вектор, дуальный антисимметричной части тензора интенсивностей светового поля $e_{ij}^{\mu\eta} = e_i^{\mu*} e_j^{\eta}$.

На основе (1), (2) линейный отклик магнитной подсистемы может быть записан в виде

$$m_j^{(1)}(\mathbf{r}, t) = \iint G_{jn}(\mathbf{r} - \mathbf{r}', t - t') \tilde{h}_n^{(1)}(\mathbf{r}', t') d\mathbf{r}' dt', \quad (3)$$

где $\mathbf{m}^{(1)} = \mathbf{m} - \mathbf{m}^{(0)}$ — малое отклонение от основного состояния $\mathbf{m}^{(0)}$, $\tilde{\mathbf{h}}^{(1)} = \mathbf{h}^{(1)} + \tilde{\mathbf{h}}^{M(1)} + \tilde{\mathbf{h}}^{L(1)}$ — переменное эффективное магнитное поле. Функция Грина

$$G_{jn} = (2\pi)^{-4} \theta(t - t') \times \iint \chi_{jn}(\omega, \mathbf{k}) \exp\{i[\mathbf{k}(\mathbf{r} - \mathbf{r}') - \omega(t - t')]\} d\mathbf{k} d\omega. \quad (4)$$

Функция единичного скачка θ введена в (4) для учета причинно-следственной связи. Магнитная восприимчивость определяется соотношениями

$$\chi_{jn}(\omega, \mathbf{k}) = s_{ij}^{-1}(\omega, \mathbf{k}) t_{in}. \quad (5)$$

Здесь

$$s_{ij} = i\omega \delta_{ij} + t_{in} r_{nj} + [\omega_M e_{ijm} - \tau_1^{-1} \delta_{ik}^{\text{lm}} (m_i^{(0)} \delta_{kj} + m_k^{(0)} \delta_{ij} - 2m_i^{(0)} m_k^{(0)} m_j^{(0)})] \tilde{h}_m^{(0)},$$

$$t_{in} = -\omega_M e_{ink} m_k^{(0)} - \tau_2^{-1} \delta_{in} + \tau_1^{-1} \delta_{ik}^{\text{ln}} m_l^{(0)} m_k^{(0)},$$

$$r_{nj} = (a_{il} \delta_{nj} + \bar{a}_{nijl}^L) k_i k_l - (A^M + \bar{A}^L) \delta_{nj} - K_{nj}^{M0} - \bar{K}_{nj}^L + 4\pi \kappa_n \kappa_j,$$

где $\tilde{h}_m^{(0)} = \tilde{H}_m(m_i^{(0)})/|\mathbf{M}|$ — нормированное постоянное эффективное магнитное поле, $\omega_M = g|\mathbf{M}|$, $\bar{f}^L = f(\tilde{\alpha}_{ij}^{\mu\eta} = e_{0i}^{\mu*} e_{0j}^{\eta})$; содержащие $\kappa_n = k_n/|\mathbf{k}|$ члены обусловлены динамическим размагничиванием. Полюса G_{jn} определяют спектр спиновых волн (СВ). Дисперсия СВ находится из уравнения

$$|s_{ij}| = 0. \quad (6)$$

Интеграл (4) можно взять, замкнув контур интегрирования в верхней полуплоскости. В результате $G_{jn} \propto \exp[-i\omega_l(t - t')]$, где $\omega_l(k_n)$ — корни уравнения (6). Если $\omega_l' > 0$ для любых действительных k_n , то стационарное состояние будет устойчивым. Если же существуют k_n , для которых $\omega_l' < 0$, то стационарное состояние будет неустойчивым.

Соотношения (4), (5) позволяют применять общие теоремы линейного отклика. Так, действительная и мнимая части χ (5) связаны соотношением Крамерса–Кронига. Если влияние света на одну из частей χ известно в широком частотном диапазоне, то указанное соотношение позволяет определить влияние света на другую часть. Согласно флуктуационно-диссипативной теореме, Фурье-компоненты корреляционной функции связаны с мнимой частью измененной светом восприимчивости (5).

Стационарные состояния $\mathbf{m}^{(0)}(\mathbf{H}, \tilde{K}^M, \tilde{e}_{ij}^{\mu\eta})$ удовлетворяют уравнению (1) с $\dot{\mathbf{M}}_i = 0$, которое в случае постоянного $|\mathbf{m}|$ ($\tau_2^{-1} = 0$) сводится к уравнению

$$e_{ijk} m_j^{(0)} \tilde{h}_k^{(0)} = 0. \quad (7)$$

Далее общие выражения (1)–(7) применяются к частным случаям.

2. Стационарные состояния, устойчивость, спектр спиновых волн и магнитная восприимчивость в световом поле

Рассмотрим кубический магнетик (например, феррит-гранат типа $(\text{CdBi})_3(\text{FeAlGa})_5\text{O}_{12}$, шпинель типа MnFe_2O_4 или оксид переходного элемента типа EuO). Энергия магнитной анизотропии кубического магнетика равна

$$W^{\text{Ма}} = -\frac{1}{2} K_0^M (M_x^4 + M_y^4 + M_z^4). \quad (8)$$

В случае $\mathbf{H}_0 \parallel \mathbf{x} \parallel [100]$, бигармонического светового поля с частотами ν_1 и ν_2 , волновыми векторами \mathbf{q}_1 и \mathbf{q}_2 и поляризациями $\mathbf{e}_0^1 \parallel \mathbf{e}_0^2 \parallel \mathbf{z} \parallel [001]$ при постоянной величине \mathbf{M} эффективное магнитное поле имеет вид

$$\begin{aligned} \tilde{h}_k &= h_k + \tilde{h}_k^M + \tilde{h}_k^L, \\ h_k &= h_0 \delta_{xk}, \quad \tilde{h}_k^M = a \partial^2 m_k / \partial x_i \partial x_i + 2K m_k^3, \\ \tilde{h}_k^L &= \bar{K}^{Lk} m_k + \delta_{zk} \tilde{h}^{L(1)}, \end{aligned} \quad (9)$$

где $h_0 = H_0/M$, $a = a_{ii}^M + \tilde{a}_{jjjj}^L$ — перенормированная светом константа неоднородного обмена, $K = K_0 M^2$ — константа магнитной анизотропии, $\bar{K}^{Lk} = e_{zz}^{\eta\eta} \beta^{\eta nk}$ — константа СИ магнитной анизотропии, $\beta^{\eta nx} = \beta^{\eta ny} = \beta_{3311}^{\eta\eta} = \beta_{3322}^{\eta\eta} = \beta_{3333}^{\eta\eta}$ — константы линейного магнитного двулучепреломления, $\mu, \eta = 1, 2$, $\tilde{h}^{L(1)} = 2 \text{Re } u \exp(i\psi_0)$ — переменное СИ-поле анизотропии с амплитудой $u = 2(\beta_{1111}^{12} - \beta_{1122}^{12}) e_{zz}^{12}$, фазой $\psi_0 = \nu_0 t - \mathbf{q}_0 \mathbf{r}$, частотой $\nu_0 = \nu_1 - \nu_2$ и волновым вектором $\mathbf{q}_0 = \mathbf{q}_1 - \mathbf{q}_2$.

После подстановки (9) при $\mathbf{m} = \mathbf{m}^{(0)}$ и $\tilde{h}^{L(1)} = 0$ в (7) получаются следующие стационарные однородные состояния:

$$\begin{aligned} 1) \quad m_x^{(0)} &= 1, \quad m_y^{(0)} = m_z^{(0)} = 0, \\ 2) \quad 4(m_x^{(0)})^3 - 2(1 + \kappa^L) m_x^{(0)} + h' &= 0, \\ m_z^{(0)} &= \pm (1 - (m_x^{(0)})^2)^{1/2}, \quad m_y^{(0)} = 0, \\ 3) \quad 4(m_x^{(0)})^3 - 2m_x^{(0)} + h' &= 0, \\ m_y^{(0)} &= \pm (1 - (m_x^{(0)})^2)^{1/2}, \quad m_z^{(0)} = 0, \\ 4) \quad 3(m_x^{(0)})^3 - (1 + \kappa^L) m_x^{(0)} + h' &= 0, \\ m_{y,z}^{(0)} &= \pm \{ [1 - (m_x^{(0)})^2 \pm \kappa^L] / 2 \}^{1/2}, \end{aligned} \quad (10)$$

где $\kappa^L = \bar{K}^L / 2K$, $\bar{K}^L = \bar{K}^{Lz} - \bar{K}^{Lx}$, $h' = h_0 / |K|$. Состояние 1 — коллинеарная фаза (КФ) с $\mathbf{M} \parallel \mathbf{H}$. Состояния 2 и 3 — угловые фазы (УФ) с намагниченностью \mathbf{M} , лежащей в (010) и (001) плоскостях. Состояние 4 — также УФ с \mathbf{M} , лежащей вне плоскостей симметрии.

Дисперсионные соотношения следуют из (6) для фаз 1–4. В КФ дисперсия СВ определяется выражением

$$\begin{aligned} D(\omega_0) &= (i\omega_0 - \omega_d h_+)^2 - (\omega_d h_-)^2 \\ &+ \omega_M^2 [h_1 h_2 - (4\pi \kappa_y \kappa_z)^2] = 0, \end{aligned} \quad (11)$$

где $h_{\pm} = (h_1 \pm h_2) / 2$, $h_1 = h_K + 4\pi \kappa_z$, $h_2 = h_K + 4\pi \kappa_y^2 - \bar{K}^L$, $h_K = a \mathbf{k}^2 + 2K + h_0$, $a = a^M + a^L$, $\omega_d = \tau_1^{-1}$ — частота релаксации. Световое поле, как видно из (11), изменяет щель в спектре СВ, фазовую и групповую скорости СВ. В устойчивом состоянии, как показано выше, $\omega_0'' < 0$ для любых k_n . Поэтому $h_1(k_n = 0)$, $h_2(k_n = 0) > 0$. В результате область устойчивости определяется соотношением $\text{sign } K + \frac{1}{2} h' \geq \max(0, \kappa^L)$. Восприимчивость имеет вид

$$\hat{\chi}(\omega) = D^{-1}(\omega) \hat{\xi}, \quad (12)$$

где

$$\begin{aligned} \xi_{xx} &= \xi_{xy} = \xi_{xz} = \xi_{yx} = \xi_{zx} = 0, \\ \xi_{yy} &= \xi_{zz} = -i\omega\omega_d + \omega_s^2 [h_+ \pm (h_- - \bar{K}^L)], \\ \xi_{yz} &= \xi_{zy}^* = i\omega\omega_M - 4\pi \kappa_y \kappa_z \omega_s^2, \quad \omega_s^2 = \omega_M^2 + \omega_d^2. \end{aligned}$$

Все компоненты тензора (12) содержат резонансные знаменатели. Вблизи резонанса СИ-воздействие будет наибольшим. При слабой диссипации $D(\omega) = \omega_0'^2 - \omega^2 + i2\omega\omega_0''$, где $\omega_0' = -\omega_d h_+$. Видно, что световое поле смещает частоту ферромагнитного резонанса (ФМР) $\omega_0'(\mathbf{k}, \omega_d \rightarrow 0) = \omega_M [h_K(h_K - \bar{K}^L)]^{1/2}$ и изменяет ширину резонансной кривой, сохраняя ее лоренцеву форму. Вблизи границы устойчивости $\chi_{yz} \propto -i\omega_M/\omega$, $\chi_{yy,zz} \propto \omega_M^2 h_{2,1}/\omega^2$. При $\omega \rightarrow 0$ на границах областей устойчивости \mathbf{M} одна из компонент χ стремится к нулю, а оставшиеся компоненты аномально растут.

В УФ 2 (без учета размагничивания) дисперсия СВ определяется соотношением

$$D(\omega_0) = (i\omega_0 - \omega_d h_+)^2 - (\omega_d h_-)^2 + \omega_M^2 h_1 h_2 = 0, \quad (13)$$

где $h_1 = a \mathbf{k}^2 + 2K m_z^2 + \bar{K}^L$, $h_2 = a \mathbf{k}^2 + m_z [2K(1 - 6m_x^2) + \bar{K}^L]$. В этой фазе СВ подвержены дополнительному влиянию светового поля ввиду зависимости $m_{x,z}(\bar{K}^L)$. Области устойчивости данной фазы определяются соотношениями $\frac{3}{2} h'^{2/3} - 1 \leq \kappa^L$, $h' \leq 8$; $\frac{1}{2} h' + 1 \leq \kappa^L$, $h' \geq 8$ для $K > 0$; $\frac{1}{2} h' - 1 \leq \kappa^L$, $h' \geq 2$; $1 - (\frac{1}{2} h')^{2/3} \leq \kappa^L$, $h' \geq 8$ для $K < 0$. В случае $K > 0$ между фазами 1 и 2 происходят СИ фазовый переход второго рода (ФП2) в области $h' > 8$ и первого рода (ФП1) в области $h' < 8$. Точка ($h' = 8$, $\kappa^L = 5$) — критическая точка. В случае $K < 0$ между указанными фазами происходят только СИ ФП2. Восприимчивость в фазе 2 определяется выражением (12), в котором

$$\begin{aligned} \xi_{xx} &= m_z^2 \xi_1, \quad \xi_{xy} = -\xi_{yx} = m_z \xi_3, \quad \xi_{xz} = \xi_{zx} = -m_x m_z \xi_1, \\ \xi_{yy} &= \xi_2, \quad \xi_{yz} = -\xi_{zy} = m_x \xi_3, \quad \xi_{zz} = m_x^2 \xi_1, \\ \xi_{1,2} &= -i\omega\omega_d + \omega_s^2 h_{1,2}^2, \quad \xi_3 = i\omega\omega_M. \end{aligned}$$

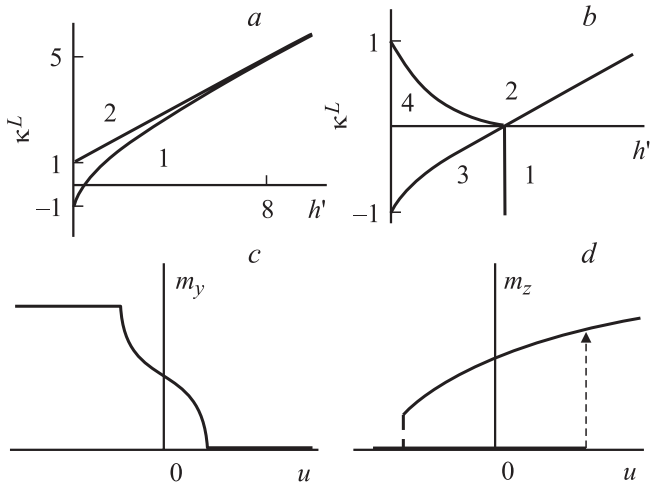


Рис. 1. Фазовые диаграммы (*a, b*) и некоторые зависимости намагниченности от энергии светового поля (*c, d*). *a, c* — $K > 0$, *b, d* — $K < 0$.

В фазах 3 и 4 восприимчивость и спектр СВ имеют подобные наблюдаемым в фазах 1 и 2 характерные черты. Анализ устойчивости фаз 1–4 дает фазовую диаграмму, представленную на рис. 1. Выражение для D в фазах 3, 4 не приводится из-за громоздкости.

3. Светоиндуцированный нелинейный ФМР

Нелинейная динамика \mathbf{M} в кубическом магнетике во внешнем магнитном поле, параллельном ребру куба $\mathbf{H}_0 \parallel \mathbf{z}$, и в линейно поляризованном вдоль \mathbf{z} бигармоническом световом поле для КФ определяется уравнениями

$$\begin{aligned} \Omega_M^{-1} \dot{m}_x + \rho_1 m_x + a' m_{y,xx} - [h_2 + \tilde{h}^{L(1)} + h_N] m_y &= 0, \\ \Omega_M^{-1} \dot{m}_y + \rho_2 m_y - a' m_{x,xx} - [h_1 + \tilde{h}^{L(1)} - h'_N] m_x &= 0, \end{aligned} \quad (14)$$

где $\Omega_M = \omega_M / \nu_0$ и $a' = a q_0^2$ — безразмерные характерная частота и обменная константа, $\rho_{1,2} = h_{1,2} / \omega_M \tau_1$ — параметры релаксации, $h_1 = h_2 + 4\pi$ и $h_2 = h_{0z} + 2K + \tilde{K}^L$ — эффективные магнитные поля, перенормированные постоянным СИ-полем анизотропии, $\tilde{h}^{L(1)}$ — переменное СИ-поле анизотропии, $h_N = 3K(m_x^2 + \frac{5}{3}m_y^2)$ и $h'_N = 3K'(m_x^2 + \frac{5}{3}pm_y^2)$ — нелинейные составляющие эффективного магнитного поля, $K' = K + 2\pi/3$, $p = (K + \frac{2}{3}\pi)/K'$, причем содержащие π слагаемые обусловлены размагничиванием, $\nu_0 t \rightarrow t$, $q_0 x \rightarrow x$.

Решение (14) может быть представлено в виде

$$m_i = \sum_{m,n} m_{im,n} \exp[i(\Omega_{m,n} t - \kappa_{m,n} x)], \quad (15)$$

где $m_{im,n} = m_{i-m,-n}^*$ — амплитуда гармоники частоты $\Omega_{m,n} = m\Omega + n$ и волнового числа $\kappa_{m,n} = m\kappa + n$,

$\Omega = \omega / \nu_0$, $\kappa = k / q_0$. Нечетное целое m характеризует гармоники СВ, порождаемые нелинейностью (умножает частоту), целое n определяет гармоники СВ, порождаемые световой накачкой вследствие брэгговского рассеяния (сдвигает частоту). Суммирование по m и n производится от $-\infty$ до $+\infty$.

Подставляя (15) в (14), получим бесконечную систему нелинейных алгебраических уравнений для амплитуд гармоник. В случае малой амплитуды и слабой связи можно учитывать только одну гармонику, вызванную нелинейностью, и одну соседнюю гармонику, возбужденную световым полем. Тогда в нулевом приближении по $|u|^2$ дисперсионные соотношения для невзаимодействующих гармоник будут определяться выражением

$$\begin{aligned} \Omega^{m,n} = m^{-1} \left(-n \pm \left\{ \Omega_h^2 + \Omega_M^2 a' \kappa_{m,n}^2 [2(h_2 + 2\pi) \right. \right. \\ \left. \left. + a' \kappa_{m,n}^2] \right\}^{1/2} + iR_{\pm} \right), \end{aligned} \quad (16)$$

где $\Omega_h^2 = \Omega_M^2 h_2 (h_2 + 4\pi) - R^2$ — щель в спектре СВ, $R_{\pm} = \Omega_M \rho_{\pm}$, $\rho_{\pm} = (\rho_1 \pm \rho_2) / 2$. Дисперсионные кривые соседних гармоник пересекаются в точках синхронизма (ТС) $\kappa_{m,n;m,n-1} = -(n + \frac{1}{2} \pm \eta^{-1} P_{-1}^{1/2}) / m$, $\Omega_{m,n;m,n-1} = -(n + \frac{1}{2} \pm \eta P_{-1}^{1/2}) / m$, где $\eta = s / \nu_0$, $s = 2\Omega_M^2 a (h_2 + 2\pi)$ — характерная скорость СВ, $\nu_0 = \nu_0 / q_0$ — скорость оптической накачки, $P_{-1}^{1/2} = \frac{1}{4} + \Omega_h^2 (\eta - 1)^{-1}$. В ТС происходит резонансное взаимодействие гармоник вследствие совпадения их фазовых скоростей. Вдали от этих точек взаимодействие слабое и дисперсия определяется выражением (16).

Вблизи ТС в первом приближении по $|u|^2$ дисперсия СВ определяется соотношением

$$\begin{aligned} \Delta \Omega_{\pm} = v^{(+)} \Delta \kappa - \gamma \bar{N}^{(0)} \\ \pm [(v^{(-)} \Delta \kappa - \gamma \bar{N}^{(0)})^2 + \Lambda_m + \Lambda_N]^{1/2} + iR_{\pm} m^{-1}, \end{aligned} \quad (17)$$

где $\Delta \Omega = \Omega - \bar{\Omega}_{m,n}$ и $\Delta \kappa = \kappa - \bar{\kappa}_{m,n}$ — отклонение переменных от их значения в ТС, $\bar{f} = f(\Omega_{m,n;m,n-1}, \kappa_{m,n;m,n-1})$ — значение функции в ТС, $v^{m,n} = \eta^2 \bar{\kappa}_{m,n} / \bar{\Omega}_{m,n}$ — нормированные групповые скорости в ТС, $v^{(\pm)} = (v^{m,n} \pm v^{m,n-1}) / 2$, $\gamma = \Omega_M^2 / m (2\bar{\Omega}_{m,n} - 1/2)$, $\bar{N}^{(0)} = N^{(m,n)}(|u| = 0)$, $N^{(m,n)}$ — нелинейная функция компонент намагниченности $m_{xm,n}$, $m_{ym,n}$ и $|u|^2$, $\Lambda_N = \lambda N^{(1)} d^{(m,n-1)}$ — параметр нелинейности, $\bar{N}^{(1)} = (\partial N^{(m,n)} / \partial |u|^2)|_{|u|=0}$, $\Lambda_m = \lambda \bar{\alpha}$ — параметр связи гармоник, $\lambda = |u|^2 \Omega_M^4 / m^2 (4\bar{\Omega}_{m,n-1/2}^2 - 1)$, $\bar{\alpha} \equiv \bar{\alpha}^{m,n;m,n-1} = 16\pi^2 / [1 - 4\Omega_M^2 a' \kappa_{m,n-1/2}^2]$. Из (17) видно, что неустойчивость возникает при $\Lambda_m < 0$ и, следовательно, при $\eta^2 < 1$. Области абсолютной и конвективной неустойчивости определены в [7].

В неустойчивом состоянии $|\Omega''|$ уменьшается с ростом амплитуды колебаний. В стационарном состоянии $\Omega'' = 0$. Из этого условия следует уравнение стацио-

нарных колебаний

$$-\Lambda_m + \Lambda_{\text{mth}} = \lambda \bar{N}^{(1)} d^{m,n-1} - \gamma (2\nu^{(-)} \Delta\kappa - \gamma \bar{N}^{(0)}) \bar{N}^{(0)}, \quad (18)$$

где $\Lambda_{\text{mth}} = (R_+/m)^2 + (\nu^{(-)} \Delta\kappa)^2$ — порог неустойчивости.

Таким образом, световое поле возбуждает СВ, если скорость СВ меньше скорости СИ переменного магнитного поля и интенсивность света I превышает порог.

Порог может быть оценен из соотношения $I_{\text{th}} \sim (c/2\bar{n}n')(\omega_0/4\pi g)\Delta H$, где \bar{n} — коэффициент преломления магнетика, n' — изменение \bar{n} , обусловленное \mathbf{M} , ΔH — ширина линии ФМР. В висмутсодержащих ферритах-гранатах, в частности типа $(\text{CdBi})_3(\text{FeAlGa})_5\text{O}_{12}$ [8], при температуре $T \sim 300$ К на длине волны $\lambda \sim 1 \mu\text{m}$ величина $n' \sim 10^{-2}$ [8–10]. При $\Delta H \sim 1$ Ое и $\bar{n} \sim 2.5$ пороговая интенсивность $I_{\text{th}} \sim 1 \text{ MW/cm}^2$ на частоте 10^9 s^{-1} .

Из (18) следует уравнение стационарных траекторий

$$\sum_{i,j}^{i+j \leq 3} \theta_{ij} |m_{x,m,n}|^{2i} |m_{y,m,n}|^{2j} = 0. \quad (19)$$

В общем случае (19) описывает кривые шестого порядка, которые вычерчивает конец вектора \mathbf{M} . Для малых амплитуд (19) сводится к

$$(|m_{x,m,n}|^2/m_{0x}^2) + (|m_{y,m,n}|^2/m_{0y}^2) = 1, \quad (20)$$

где $m_{0x,y} = A_{x,y}(|u|^2 - |u_{\text{mth}}|^2)^{1/2}$ — полуоси эллипса, $A_{x,y} = [8\pi/h_2(9K + \delta_{x,y}\pi)]^{1/2}$, $\delta_{x,y} = 3; 1$. Поле динамического размагничивания сжимает эллипс, поэтому $A_x < A_y$. Амплитуды ведут себя подобно параметру порядка при ФП2 типа порядок–беспорядок. В допороговой области они равны нулю. За порогом амплитуды имеют характерную для ФП2 корневую зависимость. Восприимчивость $\chi_{ui} = \partial m_{0i} / \partial u$ подчиняется закону Кюри.

Для больших амплитуд ($K \rightarrow -9/\pi$) траектории \mathbf{M} должны удовлетворять уравнению

$$\theta_0 + \theta_1 m_0^2 + \theta_2 m_0^4 + \theta_3 m_0^6 = 0, \quad (21)$$

где $m_x = m_0 \cos \varphi$, $m_y = m_0 \sin \varphi$, $\theta_{0,1,2,3} = f(\theta_{ij}, \cos \varphi)$. Изменение m_0 зависит от знака и величины коэффициентов (21) (рис. 2). В области 1 амплитуда прецессии растет монотонно. В области 2 восприимчивость χ_u имеет второй максимум в точке $m_0^2 = \theta_2/3\theta_3$. Границы между областями 2 и 3, 3 и 4 определяются соотношениями $\theta_1 = \theta_2^2/3\theta_3$, $\theta_1 = \theta_2^2/4\theta_3$ соответственно. Кривые 3–6 имеют участки с отрицательным наклоном, где стационарные состояния будут неустойчивыми. Потеря устойчивости происходит при $m_{0\mp}^2 = [\theta_2 \mp (\theta_2^2 - 9\theta_1\theta_3)^{1/2}]/3\theta_3$, причем для кривых 5, 6 $m_{0-}^2 = 0$. В области 3 амплитуда непрерывно растет с u вблизи порога, затем делает скачок вверх и далее плавно увеличивается. При уменьшении u амплитуда сначала

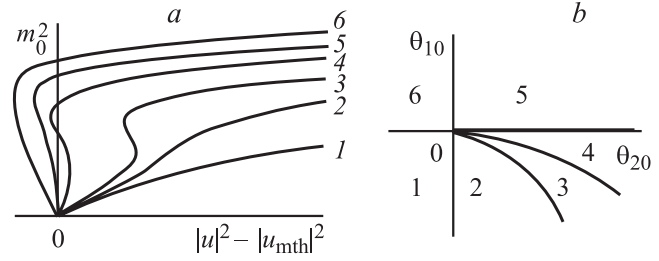


Рис. 2. Поведение амплитуд СВ вблизи порога (а) для различных коэффициентов (б).

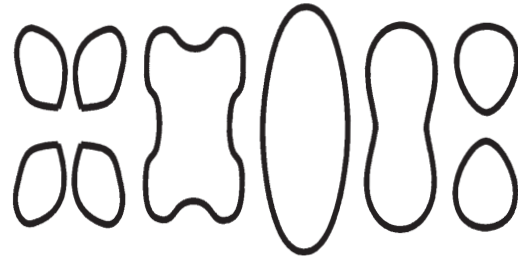


Рис. 3. Некоторые траектории, вычерчиваемые концом вектора \mathbf{M} .

непрерывно понижается, в точке потери устойчивости резко падает и далее плавно уменьшается до нуля. В области 4 (в отличие от 3) амплитуда уменьшается скачком до нуля в допороговой области. В областях 5, 6 происходит жесткое возбуждение прецессии (ФП1). Прецессия возникает на пороге и имеет конечную амплитуду $m_0^2 = [\theta_2 + (\theta_2^2 - 4\theta_1\theta_3)^{1/2}]/2\theta_3$.

Из множества кривых можно выделить топологически различные траектории (рис. 3). Переход между динамическими состояниями с различными траекториями происходит подобно ФП типа порядок–порядок. Так, при распаде траекторий (крайние траектории на рис. 3) усреднения за период намагниченность \mathbf{M} отклоняется от поля \mathbf{H} как при спин-переориентационных ФП. Спонтанное нарушение симметрии, состоящее в выборе одной из траекторий, происходит в точке ФП.

Численные оценки амплитуды стационарных колебаний можно получить из соотношения $m_0 \sim 8\pi(\beta I_{\text{th}}/3c) \times (h_2 K)^{-1/2} (\Delta I / I_{\text{th}})^{1/2}$, где ΔI — превышение I над порогом. Для ферритов-гранатов амплитуда $m_0 \sim 10^{-2}$ при $\Delta I \sim I_{\text{th}}$.

Поскольку в рассмотренных случаях воздействие света осуществляется через СИ-поле анизотропии, полученные результаты применимы и для низкочастотной ветви спиновых волн в антиферромагнетиках.

4. Светоиндуцированное спиновое эхо

Световой импульс может быть много короче, чем время релаксации \mathbf{M} . Для таких импульсов диссипацию \mathbf{M} можно не учитывать. В случае линейно поляризованного

светового поля ($\mathbf{e}_0^1 \parallel \mathbf{z}$, $\mathbf{e}_0^2 \parallel \mathbf{y}$) при $H_{0z} \gg K$, когда частота прецессии \mathbf{M} не зависит от амплитуды, полярные углы \mathbf{M} определяются соотношениями

$$\vartheta = 2 \operatorname{arctg} \left(B^{1/2} \operatorname{tg} \left\{ \frac{1}{2} \Omega_0 [(\sin \Delta \omega t) / \Delta \omega] \right\} \right),$$

$$\varphi = -\omega_H t - \delta, \quad (22)$$

где $B = |(1+b)/(1-b)|$, $b = -\beta_{33} |\mathbf{M}| / \alpha_{11}$, $\Omega_0 = \frac{1}{2} g H^L |1 - b^2|^{1/2}$, $H^L = \alpha_{11} |e_{0z}^1 \parallel e_{0y}^2| / 8\pi$ — СИ магнитное поле, $\Delta \omega = \omega_0 - \omega_H$, $\omega_H = g H_{0z}$, Вектор \mathbf{M} прецессирует вокруг \mathbf{H} , периодически отклоняясь от \mathbf{H} , с частотой $\Delta \omega$ и амплитудой $\vartheta_0 = 2 \operatorname{arctg} [B^{1/2} \operatorname{tg}(\Omega_0 / 2\Delta \omega)]$. При резонансной частоте \mathbf{M} вращается в плоскости, проходящей через ось \mathbf{z} , с угловой частотой Ω_0 .

Длительность светового импульса, поворачивающего \mathbf{M} к $\pi/2$, определяется соотношением $t_{\pi/2} = (\Delta \omega)^{-1} \arcsin[(2\Delta \omega / \Omega_0) \operatorname{arctg} B^{-1/2}]$. При $b \rightarrow 0$ длина импульса $t_{\pi/2} \rightarrow \pi / 2\Omega_0$. Для ферритов-гранатов $t_{\pi/2} \sim 3 \cdot 10^{-8}$ s при $I \sim 10$ MW/cm². После воздействия $t_{\pi/2}$ -импульса \mathbf{M} вращается в плоскости базиса и релаксирует. Из-за неоднородностей и других факторов составляющие \mathbf{M} прецессируют с разной частотой. Вследствие этого \mathbf{M} распадается на отдельные составляющие, направленные под углом друг к другу. По истечении времени распада составляющие взаимно компенсируются и \mathbf{M} становится исчезающе малым. Световой импульс длительностью t_π изменяет направление составляющих \mathbf{M} на противоположное. В результате медленно вращающиеся компоненты оказываются впереди быстро вращающихся. С течением времени последние компоненты догоняют первые, и через определенный момент времени, равный интервалу между импульсами, составляющие ориентируются в одном направлении. Увеличение \mathbf{M} индуцирует сигнал в регистрирующем приборе. Эффект появления сигнала после приложения к магнетику указанной последовательности импульсов известен как спиновое эхо [12–14]. В данном случае эхо возбуждается световым полем с дискретным спектром. СИ спиновое эхо дает возможность локально измерять времена релаксации \mathbf{M} .

При рассматриваемых условиях возможны эффекты, аналогичные оптической нутации и самоиндуцированной прозрачности [12–14].

При резонансе вектор \mathbf{M} с угловой частотой Ω_0 переходит из основного состояния в инверсное против поля \mathbf{H}_0 . Поскольку диссипации энергии не происходит, магнитная подсистема отбирает энергию у светового поля при движении \mathbf{M} к инверсному состоянию и отдает ее обратно при движении \mathbf{M} к основному состоянию. Вследствие этого энергия светового поля будет периодически изменяться. Эти изменения подобны оптической нутации, которая возникает при резонансном взаимодействии света с электрическим диполем атома [12–14]. В данном случае нутация связана с \mathbf{M} .

Полный световой импульс резонансной частоты с длительностью $t_{2\pi}$ переводит магнетик из основного состояния через инверсное снова в основное. Следовательно, энергия основного состояния не изменяется. Поэтому $t_{2\pi}$ световые импульсы распространяются в магнетике без потерь в магнитной подсистеме. Этот эффект аналогичен эффекту самоиндуцированной прозрачности. Он интерпретируется следующим образом. За время t_π магнитная подсистема поглощает переднюю часть светового импульса и переходит в инверсное состояние. Далее происходит вынужденное излучение и поглощенная часть импульса (благодаря суммарной комбинационной частоте) присоединяется к заднему фронту, световые импульсы восстанавливаются (с учетом не связанного с намагниченностью затухания).

В приведенном выше рассмотрении поглощение и обратное влияние \mathbf{M} на световое поле не учитывались. Эти условия выполняются, если уменьшение амплитуды и изменение фазы световых волн за счет \mathbf{M} на длине образца малы [5,7].

Автор признателен Ф.В. Лисовскому за полезные замечания и поддержку.

Список литературы

- [1] Л.Д. Ландау, Е.М. Лифшиц. Электродинамика сплошных сред. Наука, М. (1982). 620 с.
- [2] Р.В. Писарев. В кн.: Физика магнитных диэлектриков / Под ред. Г. Смоленского. Наука, Л. Гл. 5. С. 356.
- [3] Г.С. Кринчик. Физика магнитных явлений. Изд-во МГУ, М. (1985). 336 с.
- [4] А.И. Ахизер, В.Г. Барьяхтар, С.В. Пелетминский. Спиновые волны. Наука, М. (1967). 367 с.
- [5] А.Ф. Кабыченков. ЖЭТФ **100**, 1219 (1991).
- [6] A. Kabychenkov. In: Studies in Applied Electromagnetics and Mechanics. Vol. 13. Nonlinear Electromagnetic System / Eds V. Kose, J. Sievert. IOS Press, Amsterdam (1998). P 879.
- [7] А.Ф. Кабыченков. ФТТ **37**, 682 (1995).
- [8] T. Hibya, Y. Vorishige, J. Nakashima. Jap. J. Appl. Phys. **24**, 1316 (1985).
- [9] P. Hansen, J.-P. Krummer. Thin Solid Films **114**, 1–2, 69 (1984).
- [10] Физические величины. Справочник / Под ред. И.С. Григорьева, Е.З. Мейлихова. Энергоатомиздат, М. (1991). С. 866–869.
- [11] А.Г. Гуревич, Г.А. Мелков. Магнитные колебания и волны. Физматлит, М. (1994). С. 273, 274, 283, 289.
- [12] E. Hahn. Phys. Rev. **80**, 3, 580 (1950).
- [13] Д.Н. Клышко. Физические основы квантовой электроники. Наука, М. (1986). 293 с.
- [14] Э.А. Маныкин, В.В. Самарцев. Оптическая эхо-спектроскопия. Наука, М. (1984). 272 с.